

[19] 中华人民共和国国家知识产权局

[51] Int. Cl.  
H04N 7/26 (2006.01)



# [12] 发明专利申请公布说明书

[21] 申请号 200810227028.3

[43] 公开日 2009年4月8日

[11] 公开号 CN 101404772A

[22] 申请日 2008.11.19

[21] 申请号 200810227028.3

[71] 申请人 中国科学院光电技术研究所

地址 610209 四川省成都市双流 350 信箱

[72] 发明人 徐智勇 徐 勇 张启衡 张 耀

[74] 专利代理机构 北京科迪生专利代理有限责任公司

代理人 贾玉忠 卢 纪

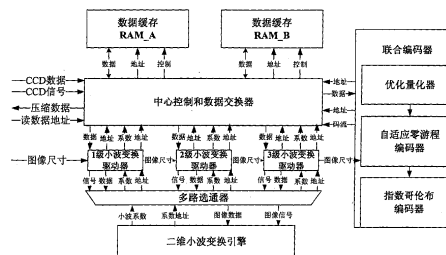
权利要求书 1 页 说明书 7 页 附图 4 页

## [54] 发明名称

基于小波变换的 VLSI 图像压缩编码器

## [57] 摘要

基于小波变换的 VLSI 图像压缩编码器，包含一个中心控制和数据交换器、1~3 级小波变换驱动器、二维小波变换引擎、联合编码器以及两个数据缓存：RAM\_A 和 RAM\_B；该编码器首先利用 1~3 级小波变换驱动器和二维小波变换引擎对输入图像进行三级小波变换，然后用联合编码器内部的最佳量化器分别对各子带量化，量化后的系数由联合编码器内的自适应零游程编码器和指数哥伦布编码器进行熵编码，最终得到压缩码流。本发明使用硬件实现图像压缩算法，提高了图像压缩速度，使得图像记录设备具有实时图像压缩能力，可有效延长记录时间和提高传输能力。



1、基于小波变换的VLSI图像压缩编码器，其特征在于：包含一个中心控制和数据交换器、1~3级小波变换驱动器、二维小波变换引擎、联合编码器以及两个数据缓存：RAM\_A和RAM\_B；首先利用1~3级小波变换驱动器和二维小波变换引擎对原始图像进行小波变换，然后用联合编码器对图像小波系数进行熵编码，最终得到压缩码流，实现图像压缩的目的。

2、根据权利要求1所述的基于小波变换的VLSI图像压缩编码器，其特征在于：所述的二维小波变换引擎实现5/3小波变换，可兼容无损压缩。

3、根据权利要求1所述的基于小波变换的VLSI图像压缩编码器，其特征在于：所述的中心控制和数据交换器包含Idle、Lvl1变换、Lvl2变换、Lvl3变换、子带转移、熵编码共6个状态；每个状态对应一个图像压缩的过程，当前状态对应的处理过程完成后给出结束信号，然后状态机进入下一个状态并启动对应的处理过程。

4、根据权利要求1所述的基于小波变换的VLSI图像压缩编码器，其特征在于：所述的中心控制和数据交换器负责数据交换，内部具有可切换数据通道，根据当前所处工作状态切换数据通道，在各处理模块和两个数据缓存RAM\_A和RAM\_B之间进行数据交换和转移。

5、根据权利要求1所述的基于小波变换的VLSI图像压缩编码器，其特征在于：所述的联合编码器由最佳量化器、自适应零游程编码器和指数哥伦布编码器三个部件串联组成。

6、根据权利要求1所述的基于小波变换的VLSI图像压缩编码器，其特征在于：所述的两个缓存RAM\_A和RAM\_B在FPGA内部存储空间不够的情况下，可以采用两个片外SRAM代替。

7、根据权利要求5所述的联合编码器，其特征在于：所述的最佳量化器对十个子带分别进行均匀Dead-Zone量化，十个子带的量化阶矢量为 $\Delta \times [1\ 1\ 1\ 2\ 2\ 2\ 4\ 4\ 4\ 8]$ 。

8、根据权利要求5所述的联合编码器，其特征在于：所述的自适应零游程编码器具有两个工作模式：普通模式及游程模式，其模式间转换连续零的个数的阈值为2。

9、根据权利要求5所述的联合编码器，其特征在于：所述的指数哥伦布编码器采用位并行编码结构，指数哥伦布编码参数k为0。

## 基于小波变换的 VLSI 图像压缩编码器

### 技术领域

本发明涉及一种基于硬件实现的图像压缩编码器，特别是一种基于小波变换的高性能低复杂度 VLSI 图像压缩编码器。

### 背景技术

随着计算机技术应用的普及，数字图像已经成为人们日常接触的主要的图像信息载体。图像具有信息量大，数据量大的特点，据分析，在人类接收到的信息当中，不到20%是通过声音接受的，而通过眼睛接受到的信息超过了80%，自古就有“百闻不如一见”的说法，形象地说明了图像信息交流的重要性和迫切性。然而一般图像是高维数据，随着尺寸的增大，数据量以几何速度增长，如果不能解决数据量巨大和有限的记录空间和传输带宽之间的矛盾，那么像如今这样普及的数字图像应用是不可能的。

因此自从数字图像应用诞生之日起，数字图像压缩技术也随之发展起来，在最近几十年一直是研究的热点，并获得了许多优秀的算法，而且许多算法还成为商业标准，如JPEG标准以及最新的JPEG2000压缩标准。在一个图像压缩存储/传输系统里面，关键部分就是图像压缩编码器，它关系着整个系统的性能和图像质量。但是目前的图像压缩算法普遍具有较高的计算复杂度，如JPEG2000算法由于采用了复杂的EBCOT编码及需要迭代求解的PCRD-OPT码率分配算法，在通过通用处理器或可编程DSP实现时，难以实现高速的实时图像压缩编码。而计算复杂度较低的JPEG算法由于采用8×8的图像块进行独立编码，在较高压缩比时会出现严重的块效应，大大降低图像质量。

### 发明内容

本发明要解决的技术问题是：克服了现有技术的不足，提供了一种基于小波变换的VLSI图像压缩编码器，基于FPGA实现时，它能够在消耗较少硬件资源的情况下，实现高速，低复杂度的实时图像压缩，为数字图像实时压缩存储/传输的工作提供最核心的解决方案。

本发明解决其技术问题所采用的技术方案：一种基于小波变换的VLSI图像压缩编码器，其特征在于：包含一个中心控制和数据交换器、1~3级小波变换驱动器、二维小波变换引擎、联合编码器以及两个数据缓存：RAM\_A和RAM\_B；整个图像压缩编码器工作时由中心控制和数据交换器进行控制并进行数据通道的切换，保证不同工作过程中正确的数据流向；当原始

图像输入时，一级、二级和三级小波变换驱动器在中心控制与数据交换器的控制下时分复用一个二维小波变换引擎，使输入图像数据在RAM\_A和RAM\_B之间来回地进行递归变换实现三级小波变换，最终将输出的三级小波变换的十个子带存储在RAM\_A内，此时中心控制和数据交换器切换通道并启动联合编码器，联合编码器由最佳量化器，自适应零游程编码器及k=0的指数哥伦布编码器构成，它从RAM\_A中以Z字扫描顺序读出图像的三级小波变换系数，经过最佳量化、自适应零游程编码以及指数哥伦布编码后输出字长为8bit的码流，写入外部存储体或直接传输，最终完成数字图像实时压缩存储/传输的工作。

所述的两个数据缓存RAM\_A和RAM\_B的位宽应至少大于图像像素深度4个bit，以存储图像小波系数，其容量应能容纳一幅图像的数据。

所述的二维小波变换引擎为5/3小波变换，采用提升小波结构实现，为实现高速小波变换，应采用深度流水线设计。

所述的最佳量化器对十个子带分别进行均匀Dead-Zone量化，十个子带的量化阶矢量为 $\Delta \times [1\ 1\ 1\ 2\ 2\ 2\ 4\ 4\ 4\ 8]$ 。

所述的自适应零游程编码器具有两个工作模式：普通模式及游程模式，其模式间转换连续零个数阈值为2。

所述的指数哥伦布编码器采用位并行编码结构，指数哥伦布编码参数k为0，编码输出码流字长为8bit。

本发明的原理：数字图像一般表示为M\*N的二维矩阵，矩阵内的每个元素称为像素点，像素点具有相应的数值以确定图像内容。对于一般图像来说，像素点的数值是有规律的，一个像素和它周围像素数值相近的概率是非常大的，即图像的分片平滑特性。对于图像压缩来说，一幅图像内存在较多信息冗余，主要有像素间相关冗余，视觉冗余，熵冗余等。图像压缩的目的就是要有效去除这些冗余，在尽量不影响图像内容表达的前提下，减少图像的数据量，降低其存储空间和传输带宽。

本发明与现有技术相比具有如下优点：

(1) 本发明在较高压缩性能的条件下，由于采用了低复杂度和硬件易实现的自适应零游程编码及k=0的指数哥伦布编码，大大降低了算法复杂度和硬件消耗；

(2) 本发明在设计上充分考虑了硬件的可并行设计，使得该结构在FPGA上实现时可以获得高于传统通用处理器或可编程DSP的图像压缩速度；

(3) 本发明可作为IP核直接实现在FPGA上进行图像压缩，因此不需要额外的技术成本，方便实用。

## 附图说明

- 图 1 为本发明在记录系统中的使用示意图；  
 图 2 为图 1 中图像压缩编码器的压缩编码步骤示意图；  
 图 3 为图 2 中小波变换的行变换提升结构示意图；  
 图 4 为图 2 中小波变换的列变换提升结构示意图；  
 图 5 为图 2 中自适应零游程编码器的硬件结构示意图；  
 图 6 为图 2 中  $k=0$  的指数哥伦布编码器的硬件结构示意图；  
 图 7 为本发明提出的压缩编码器的顶层模块集成示意图；  
 图 8 为本发明基于 FPGA 实现时得到的一幅图像编码波形示意图；  
 图 9 为本发明基于 FPGA 实现图像压缩时的测试图像；  
 图 10 为本发明基于 FPGA 实现测试图像压缩 11 倍时的效果图；  
 图 11 为采用 JPEG 标准对测试图像压缩 11 倍时的效果图；  
 图 12 为采用 JPEG2000 标准对测试图像压缩 11 倍时的效果图。

## 具体实施方式

下面结合附图及具体实施方式详细介绍本发明。

如图 1 所示，本发明涉及一种基于硬件实现的图像压缩编码器，该编码器为一个可嵌入的压缩 IP 核，使用时直接接收未压缩的摄像机图像数据，将这些数据由本发明压缩后写入后续的记录设备中，由于本编码器对于一般图像可以保证在较好图像质量的前提下实现 10 倍以上的数据压缩，故可以有效延长记录设备的记录时间和降低传输带宽。

本发明主要是利用 5/3 小波变换去除图像像素间冗余，基于提升结构的 5/3 小波变换主要包含预测和更新两个操作，其方程分别如(1)、(2)式所示：

$$y(2n+1) = x_{\text{extent}}(2n+1) - \lfloor [x_{\text{extent}}(2n) + x_{\text{extent}}(2n+2)] / 2 \rfloor \quad (1)$$

$$y(2n) = x_{\text{extent}}(2n) + \lfloor [y(2n-1) + y(2n+1) + 2] / 4 \rfloor \quad (2)$$

随后，为了去除视觉冗余，引入最佳量化对三级小波变换后的十个子带的小波系数进行最佳量化，子带变换增益  $G_b$  表示子带  $b$  的反变换综合基矢量的平方范数，它衡量了子带中每个系数失真对重建图像失真的影响程度。为使图像失真最小，对变换增益较大的子带要采用较小的量化阶。考虑 Dead-Zone 均匀尺度量化，子带  $b$  的最优量化阶  $\Delta_b$  由(3)式给出，式中  $\Delta$  为基本量化步长，通过调整  $\Delta$  可控制码率和失真。对于正交小波变换，变换增益可近似为(4)式，其中  $d_b$  表示子带  $b$  所属的变换级序号。

$$\Delta_b = \Delta \cdot \sqrt{\frac{1}{G_b}} \quad (3)$$

$$G_b \approx 2^{2d_b} \quad (4)$$

因自然图像的分块平滑特性，量化后小波系数在高频子带会出现较多全零区域，若对系数单独编码，编码效率必然很低。为提高编码效率，必须利用上下文相关高阶编码以逼近其高阶熵。为此，采用自适应的零游程编码作为高阶扩展工具。该游程编码包含两种模式：普通模式和零游程模式，编码时作前向自适应建模并在两种模式中转换，其规则为：初始模式为普通模式，该模式下直接将输入样本输出，若连续输入 0 达到 2 个，进入零游程模式；在零游程模式无输出，只计数 0 个数，直到输入非 0 时退回普通模式，并输出 0 游程个数和该非 0 样本。最后，采用编码参数  $k=0$  的指数哥伦布编码对自适应零游程产生的样本和游程长度进行熵编码便完成了图像的压缩，获得图像压缩后的码流。

综上所述，本发明包含一个中心控制和数据交换器、1~3 小波变换驱动器、二维小波变换引擎、联合编码器以及两个数据缓存：RAM\_A 和 RAM\_B。这些模块有机组合完成图像压缩中的几个主要功能：3 级 5/3 小波变换、最佳量化、自适应零游程编码、 $k=0$  的指数哥伦布编码。以下具体介绍每个模块的具体实现方式和它们如何协调工作并实现以上功能。

三级 5/3 小波变换：本发明中采用 5/3 小波变换对原始图像做能量聚集，去除像素间的相关性，即像素间冗余。5/3 小波具有优秀的能量聚集效应，并能实现整数到整数的可逆变换，使得本发明可以兼容无损压缩。一般来说，3~5 级的小波变换达到的能量聚集效应相近，故本发明中对原始图像进行 3 级小波变换。其中 5/3 小波变换采用先进的提升小波结构实现，提升小波由两个过程组成：预测过程和更新过程，其公式如(1)(2)式所示，而且为了处理小波变换的边界扩展问题，采用内嵌扩展的小波提升结构实现 5/3 小波变换，对于二维的小波变换，则是采用行列变换分离实现。其原理图如图 3 和图 4 所示，图 3 为行变换结构，图 4 为列变换结构。当图像数据输入时，先进行行变换，行变换结构将输入的数据序列分割为奇序列和偶序列，偶序列在一级寄存后得到前一个偶序列数据，并与当前序列数据平均获得奇序列的预测，与当前奇序列相减得到残差(式 1)，该残差即为小波变换的高频子带，并用当前残差前一个残差来更新偶序列(式 2)，得到小波变换的低频子带，这就是图 3 的提升结构完成的行变换。如图 4 所示，在实现列变换时，接收行变换输出的每一行小波系数，并缓存前两行系数，前两行系数与当前行系数进行提升过程的预测操作，得到残差(式 1)，残差又缓存一行，当前行残差与前一行残差共同对偶数行进行更新(式 2)。这样经过一级行变换和列变换后就得到了图像的一级小波变换系数。它包括四个子带：LL1、LH1、HL1 和 HH1 子带。要实现

3级小波变换, 只用将 LL1 子带做一级小波变换又可得到 LL2、LH2、HL2 和 HH2 子带, 再将 LL2 子带做一级小波变换又得到 LL3、LH3、HL3 和 HH3 子带, 这样经过三级小波变换后, 图像被变换为 10 个子带: LL3、LH3、HL3、HH3、LH2、HL2、HH2、LH1、HL1 和 HH1 子带。LL3 子带表示了图像的低频直流信息, LH1~3 子带代表了图像在各个尺度上的垂直方向细节信息, HL1~3 子带代表了图像在各个尺度上的水平方向细节信息, HH1~3 子带代表了图像在各个尺度上的 45 度方向细节信息。对于局部平滑的自然图像, 除了 LL3 子带外的各个子带系数均聚集在 0 附近, 而且相邻系数之间相关性不大, 去除了像素间冗余, 有利于进一步的信源编码。

**最佳量化:** 在去除像素间冗余后, 图像仍然存在视觉冗余, 所谓视觉冗余, 就是人类视觉很难察觉或无关紧要的信息, 这部分信息主要集中在高频子带。本发明采用最佳量化法, 根据子带变换增益确定各个子带的量化阶, 子带变换增益  $G_b$  表示子带 b 的反变换综合基矢量的平方范数, 它衡量了子带中每个系数失真对重建图像失真的影响程度, 为最小化图像 MSE 失真, 对变换增益较大的子带要采用较小的量化阶。考虑 Dead-Zone 均匀尺度量化, 子带 b 的最优量化阶  $\Delta_b$  由(3)式给出, 式中的  $\Delta$  为基本量化步长, 通过调整  $\Delta$  可控制码率和失真。另外考虑到硬件实现除法时, 若除数为 2 的幂次的话, 仅用移位就可实现除法, 所以可得到十个子带的量化阶矢量为  $\Delta \times [1 \ 1 \ 1 \ 2 \ 2 \ 2 \ 4 \ 4 \ 4 \ 8]$ 。

**自适应零游程编码:** 可以看出, 在进行最佳量化时, 对于高频子带的量化阶大于低频子带, 这种做法与 JPEG 标准中的量化策略是有异曲同工之妙的, 由于小波系数在高频子带上聚集于 0 附近, 经过量化后, 在高频子带内必然产生许多的连续零区域。如果直接对这些系数进行熵编码, 不能达到较高的编码效率。为了有效对这些连续零区域进行编码, 本发明中采用自适应的零游程编码方法对这些连续 0 进行游程预编码。

表 1 自适应零游程编码器的行为模型

Counter's value	A's value	Counter's action	Coder's Output
>2	=0	Counter++	Null
	≠0	Counter=0	Counter-2
=2	=0	Counter++	B
	≠0	Counter=0	two 0s
<2	=0	Counter++	B
	≠0	Counter=0	B

该自适应零游程编码器的结构图如图 5 所示, 该编码算法工作时有两个编码模式: 普通模式和游程模式。编码器初始化后处于普通模式, 该模式下直接将输入样本输出, 若连续输入 0 达到 2 个, 进入零游程模式; 在零游程模式无输出, 只计数 0 个数, 直到输入非 0 时退

回普通模式，并输出 0 游程个数和该非 0 样本。为了实现该功能，本发明设计了图 5 所示的硬件结构图，当输入数据 A 时，判断其是否等于零，作为 0 计数器的使能和复位信号，并根据计数器当前值和 A 的值查表 1 得到计数器行为与编码输出，其中 B 表示当前值 A 的上一时刻的值，采用寄存器缓存得到。经过自适应零游程编码器的预编码，图像的小波系数个数明显减少，其概率密度分布(PDF)较符合  $k=0$  的指数哥伦布编码对应的理想信源概率分布。

$k=0$  的指数哥伦布编码：指数哥伦布编码的码字由两部分组成：一元码+组内标号，在  $k=0$  时，样本  $n$  的指数哥伦布码的一元码长度由(5)式得到，组内标号码由(6)式得到，其中  $\text{bin}_m(n)$  表示  $n$  的  $m$  位二进制。(5)、(6)式码字连起来就可以导出硬件实现时编码公式：若得到  $n+1$  的二进制首 1 位置  $j$ ，那么指数哥伦布码字长度为  $2j-1$ ，由(7)式就得到整个指数哥伦布码字 C。以上指数哥伦布编码样本是非负的，采用(8)式将量化系数进行非负映射，将量化后小波系数  $c$  映射为非负样本  $n$ 。

$$L = \lfloor \log_2(n+1) \rfloor + 1 \quad (5)$$

$$\text{IndexCode} = \text{bin}_{L-1}(n+1-2^{L-1}) \quad (6)$$

$$\text{Code} = \text{bin}_{2^j-1}(n+1) \quad (7)$$

$$n = \begin{cases} 2c & \text{when } c \geq 0 \\ -2c-1 & \text{others} \end{cases} \quad (8)$$

为了实现  $k=0$  的指数哥伦布编码，本发明设计了如图 6 所示的硬件编码器，待编码符号输入后先加 1，并送入首 1 检测器得到输入符号的最高位 1 的位置  $p$ ，并将位置信息送给桶形移位寄存器，桶形移位寄存器将加 1 后的符号做移位后得到指数哥伦布码字，位置信息  $p$  运算得到  $2*p+1$  就是码长；最后将码长和码字送入一个 bit 整合器中得到字长为 8bit 的码流。该 bit 整合器的作用类似于 FIFO，只不过它的输入输出字长是可变的，它由一个输入桶形移位寄存器、一个 bit 寄存器组和一个输出桶形移位寄存器组成。

编码器系统集成和工作过程：在实现了以上各模块后，按照图 7 所示的压缩编码器的顶层模块集成示意图将各个模块集成得到最终的硬件图像压缩编码器。它包含一个中心控制和数据交换器、1~3 级小波变换驱动器、二维小波变换引擎、联合编码器以及两个数据缓存：RAM\_A 和 RAM\_B。各模块工作顺序由中心控制和数据交换器控制，各级小波变换分时复用 一个二维小波变换引擎，节省硬件开销。系统的工作过程由以下 6 个状态组成：

- 1) Idle 状态：系统空闲状态，复位所有模块，等待下一帧到来时进入 Lvl1 变换状态；
- 2) Lvl1 变换状态：1 级小波变换驱动器把图像送给二维小波变换引擎变换得到 LL1, HL1,

LH1, HH1 子带写入 RAM\_A 中, 同时中心控制与数据交换器读取 RAM\_B 内的上一帧图像压缩码流输出;

3) Lvl2 变换状态: 2 级小波变换驱动器从 RAM\_A 中读出 LL1 子带系数送给二维小波变换引擎变换得到 LL2, LH2, HL2, HH2 写入 RAM\_B 中;

4) Lvl3 变换状态: 3 级小波变换驱动器从 RAM\_B 读出 LL2 子带系数送给二维小波变换引擎变换得到 LL3, LH3, HL3, HH3 写入 RAM\_A 中;

5) 子带转移状态: 中心控制与数据交换器把 LH2、HL2 和 HH2 子带从 RAM\_B 复制到 RAM\_A, 这样就完成图像的 3 级二维小波变换过程;

6) 熵编码状态: 联合编码器级联了最佳量化、自适应零游程编码和指数哥伦布编码对 RAM\_A 内的 3 级小波变换进行熵编码, 并把编码输出码字写入 RAM\_B 中; 完成当前图像的压缩进入 Idle 状态。

图 8 为该结构基于 FPGA 实现时的码流波形和控制信号波形, 可以看出, 各个模块在中心控制和数据交换器的控制下有序的协调工作, 最终实现了图像的压缩编码。图 9 为本发明的原始测试图像, 图 10~12 分别为本发明所述图像压缩编码器、JPEG 标准和 JPEG2000 标准在压缩比为 11:1 时的图像质量对比, 本发明所述图像压缩编码器的峰值信噪比(PSNR)为 28.4089 dB, JPEG 标准的 PSNR 值为 25.1392 dB, JPEG2000 标准的 PSNR 值为 29.8056 dB。由 PSNR 的值可以看出, 本发明的图像质量接近 JPEG2000 标准, 高于 JPEG 标准, 能够在保持较好的图像质量下完成 10 倍以上的图像压缩。另外, 本发明由于采用硬件设计, 可达到远远高于传统通用处理器或可编程 DSP 的压缩速度, 基于 FPGA 实现时的综合结果表明, 实现在 Virtex4 速度等级为-12 的器件上时, 最大工作频率为 126.9MHZ, 编码速度为 50.762 MPixel/s, 若对 512\*512 的图像进行压缩的话, 每秒可以压缩 190 帧的图像。

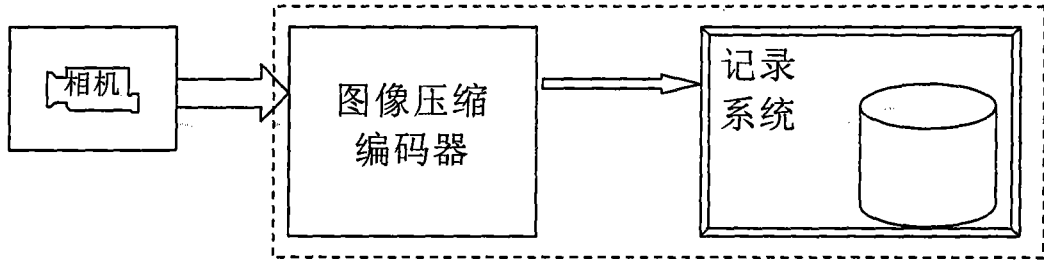


图 1

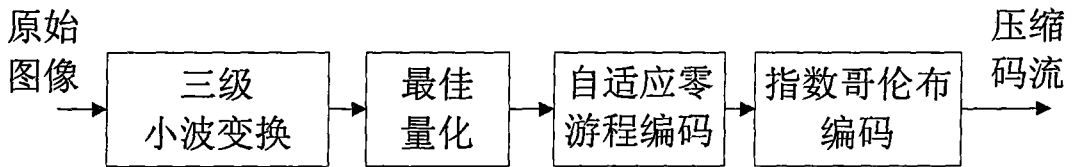


图 2

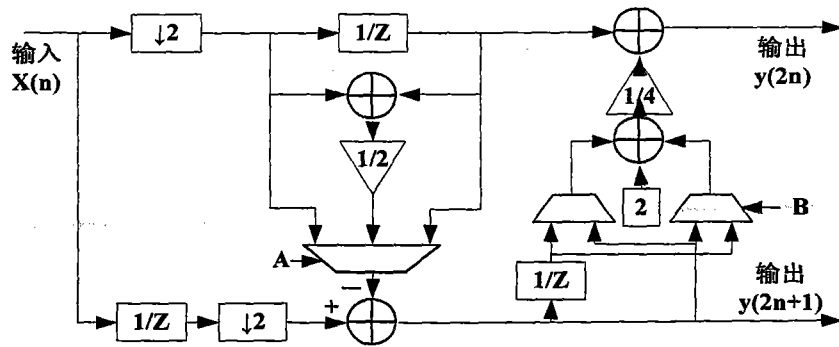


图 3

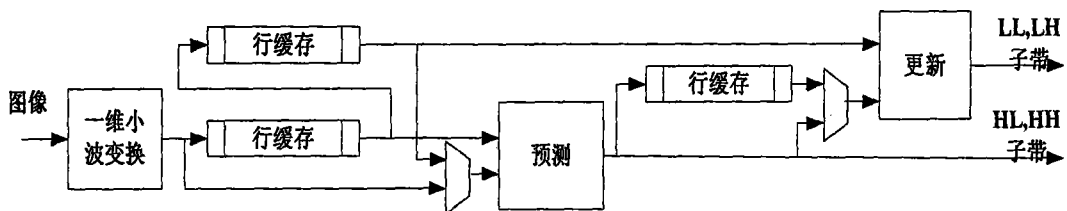


图 4

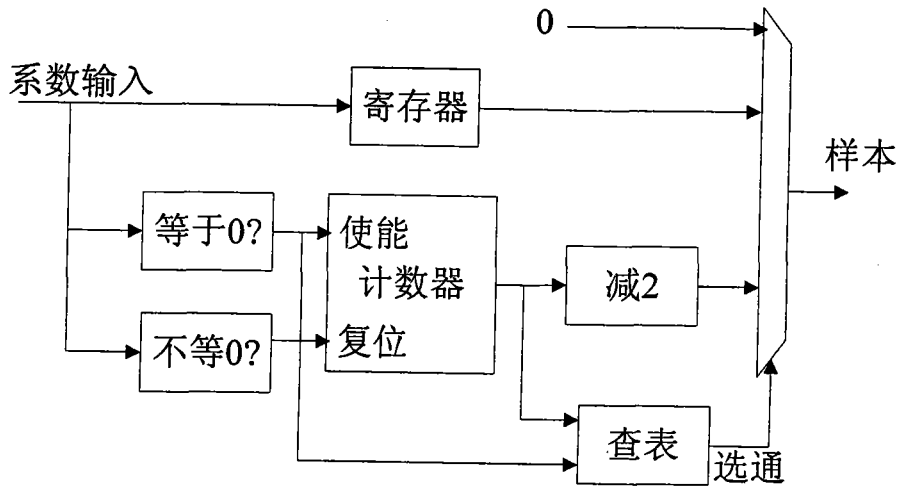


图 5

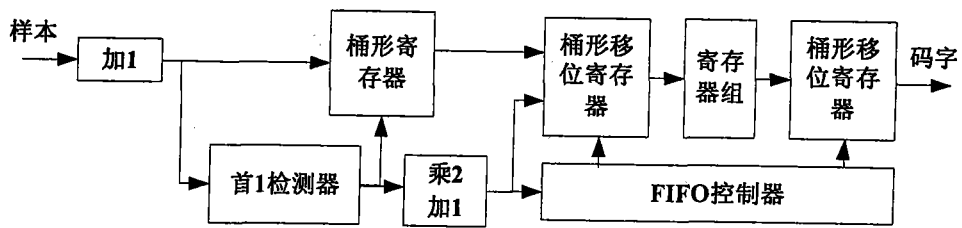


图 6

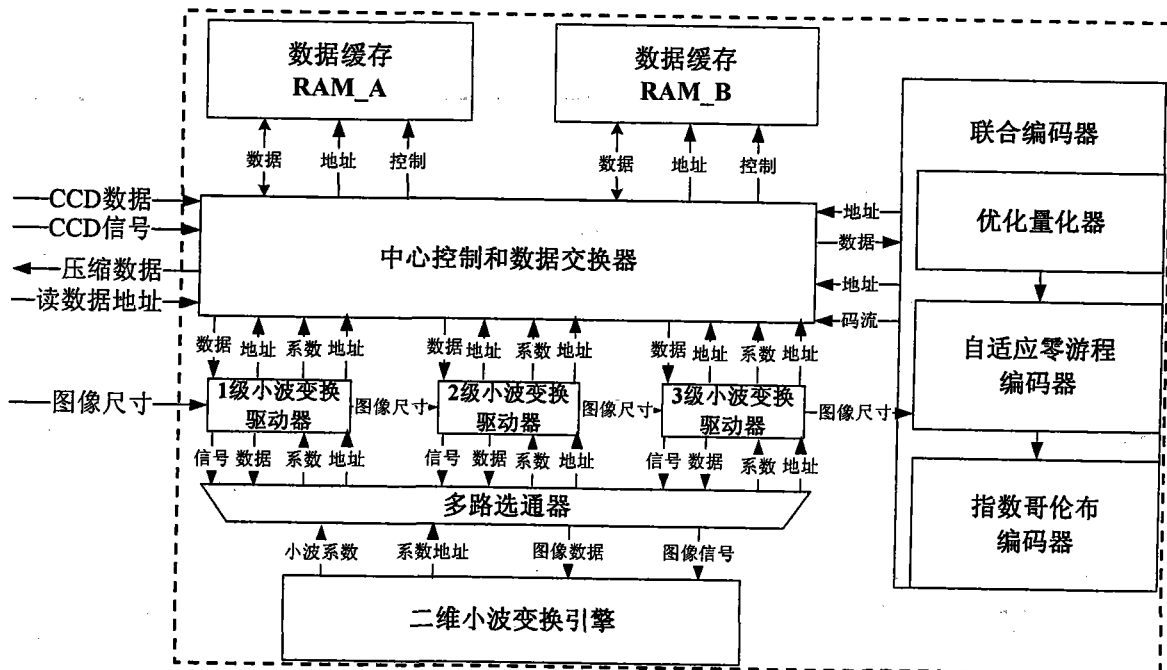


图 7

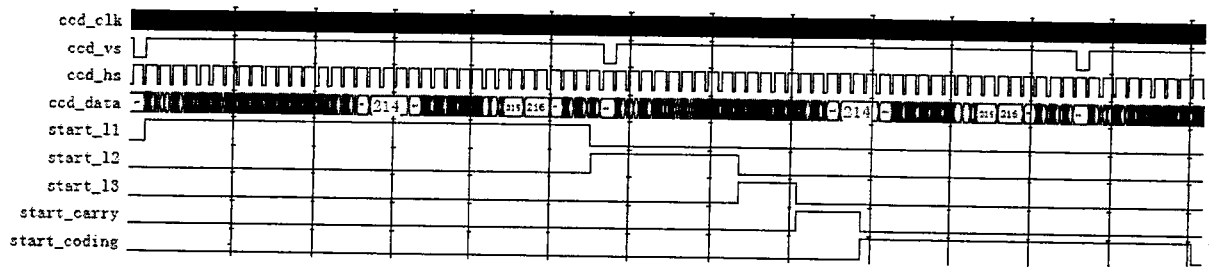


图 8

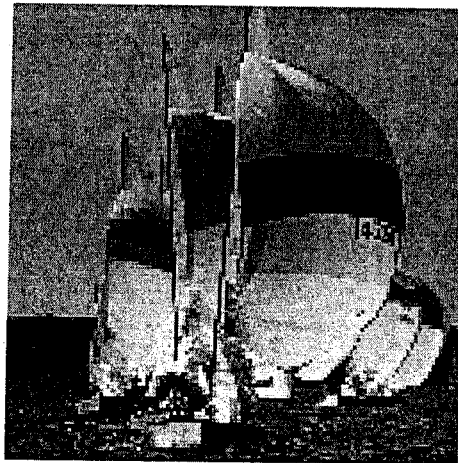


图 9

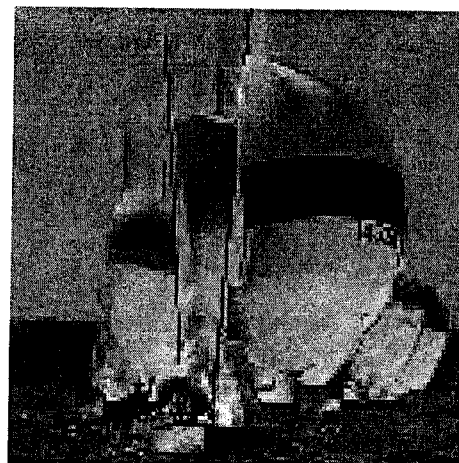


图 10

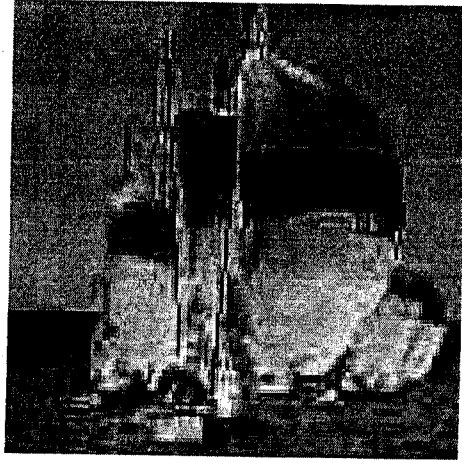


图 11

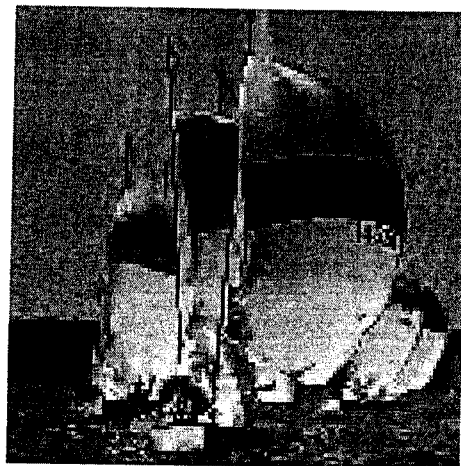


图 12